

徳島大工工房部 正員 尾島 勝

1 まえがき

著者は、飽和砂層の液状化機構の解明を目的として、液状化現象と加速震場における砂層構造の変動と崩壊までの過程についてとらえ、次の原因要素は動的外力の作用によつて砂層間隙の水圧付加と小振動的過剰間隙水圧の伝播作用であるとして若干の考察を進めていた。⁽¹⁾⁽²⁾ すなわち、砂層の液状化機構は、基本的には乾燥砂、飽和砂と同様でありであると思われたが、飽和砂の場合、実際には乾燥砂におけるよりしづらかに小さな外力の作用によつて液状化することができる。これは、崩壊による砂層構造の変動によって見かけ上の外力が増すこと、液状化による過剰間隙水圧が隣接要素への伝播するためなどの理由によるものと考えられる。したがって、飽和砂層では有効応力の減少は間隙水圧の増大としてとらえられ、またそれから、遂に間隙水圧性状を詳細に究明すれば構造変形のみならず液状化現象である液状化現象をかなり明確にできよう。今回もこのような考え方のしくみ液状化現象の伝播について考察する。すでに著者した内容と若干重複するが、液状化度、動起加速度、液状化過程について簡単に説明し、液状化現象の伝播に関する考え方を述べる。

2 液状化度

液状化時にかけ砂層内の各要素の動的過剰間隙水圧は、その要素自身の構造崩壊による過剰水圧と他の要素より上部の砂層構造の崩壊によるところの伝播過剰水圧とかかねて、いかにため、砂層中の任意点における液状化の程度を示すためには、これらを区別して考えなければならぬ。

ある要素が完全に液状化した場合、その要素の鉛直方向の加速度を無視すれば、その要素の角速度に沿って方動的過剰間隙水圧(U)は有効上載圧(σ')に等しい。したがって、液状化の程度を表す指標としてこの U をとる考え方。

$$La = U/gz \quad (1) \quad L_e = (1/g) \cdot (2U/gz) \quad (2)$$

このように定義した La と L_e の関係は、

$$La = U/gz = (1/gz) \cdot \int_0^z \partial U/gz \cdot dz = (1/gz) \int_0^z \partial L_e \cdot dz = (1/g) \int_0^z L_e \cdot dz = L_e \quad (3)$$

(式の説明省略)、 La は他の要素より上部砂層の L_e の平均的な値を表すものといえる。したがって、地盤支持力などの問題に対しては La を用いた方が有利であろうが、液状化現象の力学的機構を考慮する場合には L_e を用いるのがよろしくない。すなわち、 L_e だけは要素自身の構造崩壊によつて過剰水圧の変化のみを見出すことができる。一方で、この L_e は特殊において L_e を本質的な液状化度と呼び、また、 La を見かけの液状化度と呼んで区別する。

3 動起加速度

砂層地盤の加速度場におけるマフロには一種の加速度合算をしておこなわれても、個々の砂層要素については必ずしも計算されなければならない。すなわち、作用加速度が砂層限界強度 a_c を越すときに個々の砂層要素は可逆屈変形を繰り返すであろうが、作用加速度が a_c を越えて要素は相互の位置を変えて非

可逆性変形を生じ、 α_e と α の作用加速度に対する応答を体で砂層に移行しようとする。したがって、 α_e と砂層の一要素の平均的な小値としてみれば、砂粒子間の有効应力、内摩擦角（密度）、砂粒子の形状・粗度などによらず変わることなく考へられる。 α_e の影響因子のうち、粒子形状・粗度は同一の砂についてはほぼ一定とみなしてもよいかであろうが、前二者は同一の砂であれ、てもううる条件によって大きく異なるものである。なぜ、 α_e は粒子構造の緊密度によるほど大きく、 α_e の緊密度は有効应力が大きいほど大きいと考え、つぎのように仮定した。

$$\alpha_e = (\sigma_v - u) \cdot \varphi(\alpha) \quad (4)$$

ここで、 σ_v は有効上載重、 u は土と水の間の動的過剰内圧と水压の差の小値をもつての有効应力である。また、 $\varphi(\alpha)$ は内摩擦角の函数であり、内摩擦角の減少するから密度の増大とともに、 $\varphi(\alpha)$ が増大する性質をもつ。

ところで、せん断強度は、 $T = (\sigma_v - u) \tan \theta$ で表わされ、内部摩擦角 θ は砂層容積すなわち内摩擦角によって変わるので、 α_e は時々刻々のせん断強度に従属する物理量と考えることもできる。換言すれば、 α_e は液状化過程における時々刻々のせん断強度を表す可視標記であると言えよう。しかし、 α_e は実験的に決定しなければならないが、直接的に決定することは極めて難しい。

そこで、式(4)のように表現するか、H. B. Seed や N. N. Masiiov などがえた結論を参考するものではあるが、次元的には外から左端に加速度であるから [LT^{-2}] であり、右辺の有効应力は [ML^{-2}] であることから、内摩擦角の函数である $\varphi(\alpha)$ が無次元量となることになる。まだ欠陥が残る。

4 液状化過程

液状化の発生から終了までの全過程を一般的に表現し考察する。砂層要素に作用する加速度振幅 a とその振動に対する答應量である砂層要素の動的過剰内圧と水压、有効应力 σ'_v 、体積ひずみ ϵ (沈下量 S)、 α_e と砂層の剛性モード α の時間変化を模式的に示す以下の4図

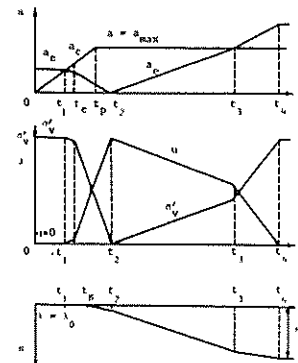


図-1 脆弱模式圖

図-1 に示された力学諸量の応答模式圖は、これまでの実験結果を考慮して想定したものであり、簡単に説明すればつきのようである。

作用外力の加速度 a は時刻 t_1 まで直線的に増大し、以後は加速度振幅 a_{max} の一定加速度となる。このとき、動的過剰内圧と水压 u は、時刻 t_1 で発生した最大値に達し、かく経てかく消滅する。また、 α_e と α の初期の固体质にあたる有効应力 σ'_v は、時刻 t_1 から減少し始めなくてはならぬ。以後 α_e の減少とともに増大し左を経て右に復する。沈下量は砂層全体の体積ひずみの集積量であり平均量ではあるが、その性状は固体质のときと全く同じである。すなはち左を右へのかく中で左の上昇過程における沈下量しかおかぬのであり、以後 α_e の減少とともに沈下量は増大し左を経て右で沈下を終る。また、加速度 a は 3 で説明したようにひずみ入の關係すから、時刻 t_1 から減少し始めて零にならぬまま、以後漸次増大して時刻 t_2 では作用加速度と等しくなる。以後も時刻 t_2 を飛ばすと a は増大するといふことである。このように液状化過程を実験的に説明する。

ところで、 U の変化は一層中立剪断応力の変化をもたらすが、 U 本体構成ひずみと常に直接的に結びついていると言えれば、 U の発生過程測定は液状化初期における沈下(体積の増加)の性状を明解に説明できない。しかし既往研究によれば、一層中立ダイレイターンの動的挿入によって測定される、 $[t_0 \sim t_1]$ では有効応力が減少するため砂粒子は中立もじりすり減り、一方で t_1 の発生は土砂排水による風化したが、 t_1 より水も漏水し砂層は取縮しようとする。 $[t_1 \sim t_2]$ ではダイレイターン動素よりも t_1 より水の漏出による取縮量の方がわずかに大きくなる。

5 液状化領域の伝播

通常、液状化は砂層の上層から下層へと進むが、逆に下層から上層へと変遷化していくことがある。Florinは液状化領域と非液状化領域の境界が明確であるとして液状化継続時間求め方式を示しているが、著者は、よりの領域の境界は明確ではなく、一層中立遷移領域があるとしてそこで述べたような液状化度を定義し、図-2のような概念図を示す。

ここで、本質的な液状化度 $Le = \alpha$ ($0 < \alpha \leq 1$) が物理量・移動速度を求める、液状化の進行からひずみ変化を要素的に把握する方法を検討する。図-3のようだ、 $Le = \alpha$ の位置を $t_0 + t$ にて $Z = \xi$ 、 $t_0 + t + \delta t$ にて $Z = \xi + \delta \xi$ とするとき式が成立する。

$$Le(\xi, t) = \frac{1}{\delta Z} \frac{\partial U}{\partial Z}(\xi, t) = \alpha \quad (5)$$

$$Le(\xi + \delta \xi, t + \delta t) = \frac{1}{\delta Z} \frac{\partial U}{\partial Z}(\xi + \delta \xi, t + \delta t) = \alpha \quad (6)$$

式(6)を Taylor 展開し高次の微小項を無視すれば、

$$\frac{\partial U}{\partial Z}(\xi, t) + \frac{\partial^2 U}{\partial Z^2}(\xi, t) \delta \xi + \frac{\partial^3 U}{\partial Z^3}(\xi, t) \delta t = \delta' \alpha$$

となる。これを式(5)に用いて代入すれば、

$$\frac{d\xi}{dt} = - \frac{\frac{\partial^2 U}{\partial Z^2}(\xi, t)}{\frac{\partial^3 U}{\partial Z^3}(\xi, t)} = - \frac{\frac{\partial^2 U}{\partial Z^2}(\frac{\partial U}{\partial Z}(\xi, t))}{\frac{\partial^3 U}{\partial Z^3}(\frac{\partial U}{\partial Z}(\xi, t))} \quad (7)$$

となる。ここで、水压: う配 $\partial U / \partial Z$ は必ず曲線で与えられるべきだが、 $\partial^2 U / \partial Z^2 (\partial U / \partial Z) / \partial Z$ は負、分子の $\partial^3 U / \partial Z^3 (\partial U / \partial Z) / \partial Z^2$ は液状化が進行してゆく場合には正、変化がゆるく、この場合に分子と分母がともに負となり、液状化の進行過程、発達過程における液状化領域の伝播速度が、 $d\xi / dt \geq 0$ となる、これが明らかにわかる。

このように考え方を簡略化せしめ、 $d\xi / dt$ を解析的に与えられることは、液状化の予測を行なうことを可能であると言えるが、具体的には解析的途中にあえて実験に頼らざるをえない。従って多くの場合で、この検討を加える必要がある。

では、液状化発生初期における進行過程における伝播性状について実験による検討した結果を述べる。

図-4は、図-2を用いて $t_0 + t$ における液状化過程の様子を示したものである。縦軸は本質的な液状化度に対する砂排水量 $(\partial U / \partial Z)$ を、横軸は時間(t)をとっている。ただし、これは砂層表面を基準にし

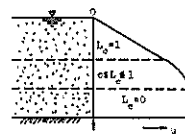


図-2 液状化度



図-3 液状化領域の伝播

である。過剰水压の測定は $Z=5, 10, 15, 20$ cm の 4 点で行はれ、この上で、 $\partial u/\partial z$ を求めた。すなはち $(\partial u/\partial z)_{20} = (u_0 - u_5)/(Z_0 - Z_5)$ として求め、 $Z=7.5, 12.5, 17.5, 22$ cm の 4 点について示した。理論的: 完全液状化の場合、 $L_e = 1/2(1/\rho_w)$ とおかられ、 $\partial u/\partial z$ は砂・水中单位体積重量 γ' に等しい一定値に保たべきものである。

図-4 に示す 1 例は実験における液状化の進行過程の動水二重振の時刻変化を詳細に示したものである。これらの図から明らかなように液状化の進行は砂層の上層部ほど早い。また、これらの結果を時間をパラメータとして示したのが図-6 である。同一時刻の各測点の値を結び、その二重振をみて検討する所時間の経過とともに二重振がフットляр幅領域へ増えていく様子が明瞭である。この実験では、 $Z=7.5$ cm での液状化の程度は小さいが、少なくとも $Z=12.5$ cm の測点まで検討すれば程度の液状化に至るところを示すものである。

図-7 は、図-4 に示した実験における中の液状化速度係数の性状を明らかにするために整理したものである。液状化速度係数は、 $\partial u/\partial t \partial z = (R/\rho_w) \cdot (a - a^*)$ で表わされる R であり、この式中の a^* は各時刻における自由水面の初速度である。この式の算出法は参考文献の中である。参考文献中に述べてあるが、 $\partial u/\partial t \partial z$ と $(a - a^*)$ との関係は液状化の進行過程において直線關係である。したがって、砂層全体について R を一定と仮定して、図-7 の結果からわかるところ、厳密には場所的にも時間的にも変化するものであるよう。この点については今後検討し改めておらねばならない。

6 まとめ

本論文は、著者の学位論文の一部であるとともに、昭和 46 年度文部省科学研究費補助金（一般研究 B）の交付を受けたことを記す。

参考文献 1) 尾島：砂・土の液状化機構に関する理論的研究、土木学会論文報告集、第 184 号、昭 46. 12.

2) 尾島・吉澤：砂・土の液状化に関する実験的研究、土木学会論文報告集、第 191 号、昭 46. 7.

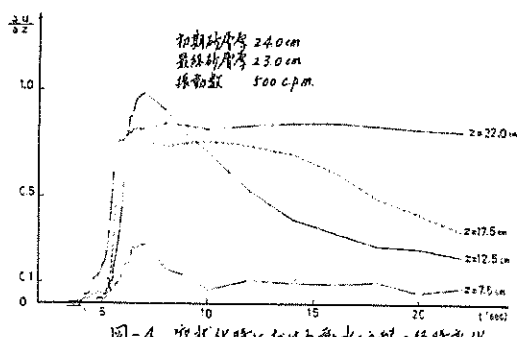


図-4 液状化時にかけた動水二重振の経時変化

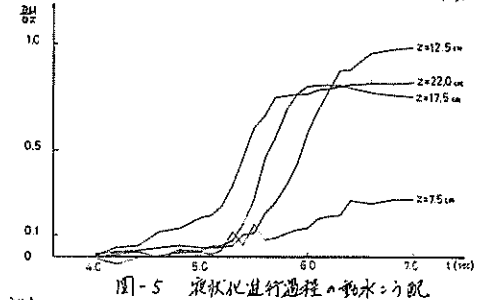


図-5 液状化進行過程の動水二重振

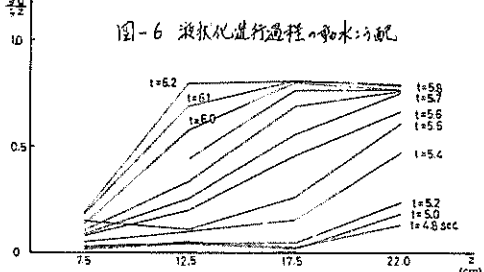


図-6 液状化進行過程の動水二重振

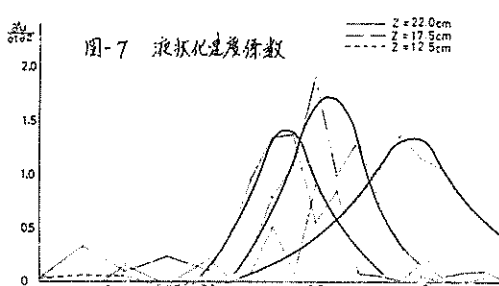


図-7 液状化速度係数

